

© 2019 г. М. ВАЙЧЮЛИС, канд. физ. наук (marijus.vaiciulis@mii.vu.lt)  
(Вильнюсский университет),  
Н.М. МАРКОВИЧ, д-р физ.-мат. наук (nat.markovich@gmail.com,  
markovic@ipu.rssi.ru)  
(Институт проблем управления им. В.А. Трапезникова РАН, Москва)

## КЛАСС СЕМИПАРАМЕТРИЧЕСКИХ ОЦЕНОК ТЯЖЕСТИ ХВОСТА РАСПРЕДЕЛЕНИЯ И ЕГО ПРИМЕНЕНИЯ<sup>1</sup>

Предлагается новый класс семипараметрических оценок хвостового индекса, основанный на довольно общем классе семипараметрических статистик. Доказывается асимптотическая нормальность предлагаемых оценок. Проводится их сравнение с несколькими ранее предложенными оценками хвостового индекса посредством асимптотической среднеквадратической ошибки. Для вычисления оценок предлагается алгоритм, который применяется к нескольким последовательностям реальных данных.

*Ключевые слова:* хвостовой индекс, оценка Хилла, нормальное распределение, асимптотическая средне-квадратическая ошибка.

DOI: 10.1134/S0005231019100039

### 1. Введение

Пусть  $X_1, X_2, \dots, X_n$  – выборка независимых одинаково распределенных (н.о.р.) случайных чисел (сл.в.) с неизвестной функцией распределения (ф.р.)  $F(x)$ . В статье формулируются предположения авторов в терминах квантильной функции  $U$ , связанной с  $F$ , которая определяется как

$$U(t) = \begin{cases} 0, & 0 < t \leq 1, \\ \inf \{x : F(x) \geq 1 - (1/t)\}, & t > 1. \end{cases}$$

А именно предполагается, что

$$(1) \quad \lim_{t \rightarrow \infty} \frac{U(tx)}{U(t)} = x^\gamma$$

для всех  $x > 0$  и некоторого  $\gamma > 0$ . Напомним, что любая неотрицательная функция  $U$ , удовлетворяющая соотношению (1) с  $\gamma \in \mathbb{R}$ , принадлежит классу функций с регулярно меняющимся правым хвостом, т.е.  $U \in RV_\gamma$ . В теории экстремальных величин параметр  $\gamma > 0$  называется хвостовым индексом. Он показывает тяжесть правого хвоста распределения. Во многих областях,

---

<sup>1</sup> Работа выполнена при частичной финансовой поддержке Маркович Н.М. Российским фондом фундаментальных исследований (проект № 19-01-00090).

таких как метеорология, гидрология, климатология, экология, телекоммуникации, страхование и финансы, распределения с функцией  $U$ , удовлетворяющей (1), рекомендованы как реалистичные модели исследуемых данных. Поэтому задача оценивания хвостового индекса распределения привлекает много внимания последние годы. Большая часть предлагаемых в публикациях оценок хвостового индекса основана на порядковых статистиках  $X_{1,n} \leq \leq X_{2,n} \leq \dots \leq X_{n,n}$  наблюдений  $X_1, \dots, X_n$ , см. обзор в [1].

Несколько семипараметрических оценок хвостового индекса можно записать, используя статистики, предложенные в [2]:

$$(2) \quad G_n(k, r, v) = \frac{1}{k} \sum_{i=0}^{k-1} g_{r,v} \left( \frac{X_{n-i,n}}{X_{n-k,n}} \right), \quad g_{r,v}(x) := x^r \ln^v(x),$$

где  $r \in \mathbb{R}$ ,  $v > -1$ . Например, оценку Хилла [3]  $\gamma_n^{(H)}(k) = G_n(k, 0, 1)$  или оценку отношения моментов  $\hat{\gamma}_n^{(mr)}(k) = G_n(k, 0, 2) (2G_n(k, 0, 1))^{-1}$ , которая была предложена в [4]. Отметим, что статистики  $G_n(k, r, v)$  являются частным случаем статистик, введенных в [5].

В настоящей статье предлагается новый класс семипараметрических оценок хвостового индекса  $\gamma$  относительно параметра  $r$ , определяемых как

$$(3) \quad \hat{\gamma}_n(k, r) = \begin{cases} (G_n(k, r, 0) - 1 - r \cdot G_n(k, 0, 1)) (r (G_n(k, r, 0) - 1))^{-1}, & r \neq 0, \\ \hat{\gamma}_n^{(mr)}(k), & r = 0. \end{cases}$$

Параметризованная оценка  $\hat{\gamma}_n(k, r)$ , как и статистики  $G_n(k, r, v)$ , зависит от двух параметров: от числа наибольших порядковых статистик  $1 \leq k \leq \leq n - 1$ , используемых в оценке, и от параметра настройки (регуляризации)  $r$ . Существует непрерывность в отношении  $r$  в (3), поскольку выполнено  $\lim_{r \rightarrow 0} \hat{\gamma}_n(k, r) = \hat{\gamma}_n^{(mr)}(k)$ . Более того,  $\lim_{r \rightarrow -\infty} \hat{\gamma}_n(k, r) = \gamma_n^{(H)}(k)$ . В этой связи класс оценок  $\hat{\gamma}_n(k, r)$  обобщает две классические оценки. Отметим, что оценки  $\hat{\gamma}_n(k, r)$ , так же как и статистики  $G_n(k, r, v)$ , являются инвариантными относительно масштаба, т.е. они не меняются при замене наблюдений  $X_1, \dots, X_n$  на  $cX_1, \dots, cX_n$ , где  $c > 0$ .

Цели статьи следующие: (а) исследовать асимптотические свойства, включая слабую сходимость и асимптотическую нормальность новых оценок; (б) сравнить предлагаемые оценки с некоторыми другими оценками хвостового индекса; (с) предложить алгоритм для адаптивного оценивания  $\gamma$  по выборке с помощью новых оценок и применить этот алгоритм к нескольким выборкам реальных данных.

Содержание статьи следующее. В разделе 2 формулируются основные асимптотические результаты. Кроме того, используя ту же методологию, что и в [6], проводится сравнение параметризованной оценки  $\hat{\gamma}_n(k, r)$  с другими параметризованными оценками хвостового индекса. В разделе 3 обсуждаются некоторые вопросы, относящиеся к практическому применению введенной оценки. В разделе 4 содержатся выводы. В Приложении приводятся доказательства основных результатов.

## 2. Основные результаты

Перед формулировкой результатов введем несколько обозначений. Пусть  $\xrightarrow{P}$  обозначает сходимость по вероятности,  $\xrightarrow{d}$  – сходимость по распределению, а  $\stackrel{d}{=}$  – равенство по распределению.

Первый результат непосредственно вытекает из теоремы 1.1 в [2].

*Теорема 1. Предположим, что  $X_1, \dots, X_n$  – независимые одинаково распределенные случайные величины с функцией распределения  $F$  такой, что ее функция квантилей  $U$  удовлетворяет условию (1). Пусть  $\gamma r < 1$ . Пусть последовательность  $k = k_n$  такова, что*

$$(4) \quad k_n \rightarrow \infty, \quad n/k_n \rightarrow \infty, \quad n \rightarrow \infty.$$

Тогда  $\hat{\gamma}_n(k, r) \xrightarrow{P} \gamma, n \rightarrow \infty$ .

Чтобы доказать асимптотическую нормальность любой оценки параметра  $\gamma > 0$  одного предположения (1) недостаточно. А именно, нужна дополнительная информация о скорости сходимости  $U(tx)/U(t)$  к  $x^\gamma$ , см. гл. 2.3 в [7]. Поэтому предположим, что существует измеримая функция  $A(t)$ , не меняющая знак при больших  $t$ , не равная нулю и такая, что  $A(t) \rightarrow 0$  при  $t \rightarrow \infty$  так, что

$$(5) \quad \lim_{t \rightarrow \infty} \frac{U(tx)/U(t) - x^\gamma}{A(t)} = f_\rho(x), \quad f_\rho(x) = \frac{x^\rho - 1}{\rho}$$

для каждого  $x > 0$ , где  $\rho < 0$  называется параметром второго порядка.

Главным результатом статьи является следующая теорема.

*Теорема 2. Предположим, что  $X_1, \dots, X_n$  – н.о.р. сл.в. с ф.р.  $F$ , функция квантилей которой  $U$  удовлетворяет условию (5). Пусть  $\gamma r < 1/2$ . Пусть последовательность  $k = k_n$  удовлетворяет условиям (4) и*

$$(6) \quad \lim_{n \rightarrow \infty} \sqrt{k} A\left(\frac{n}{k}\right) = \mu$$

с конечным  $\mu$ .

Тогда

$$(7) \quad \sqrt{k} (\hat{\gamma}_n(k, r) - \gamma) \xrightarrow{d} \mathcal{N}(\mu\nu(r), \gamma^2\sigma^2(r)), \quad n \rightarrow \infty,$$

где  $\mathcal{N}(\cdot, \cdot)$  обозначает нормальное распределение и

$$(8) \quad \nu(r) = \frac{1 - \gamma r}{(1 - \rho)(1 - \gamma r - \rho)}, \quad \sigma^2(r) = \frac{2(1 - \gamma r)}{1 - 2\gamma r}.$$

Напомним, что асимптотическая среднеквадратичная ошибка для  $\hat{\gamma}_n(k, r)$  определяется соотношением

$$(9) \quad E(\hat{\gamma}_n(k, r) - \gamma)^2 \sim A^2\left(\frac{n}{k}\right) \nu^2(r) + \frac{\gamma^2 \sigma^2(r)}{k}, \quad n \rightarrow \infty,$$

где последовательность целых чисел  $k = k_n$  удовлетворяет (4). Пусть  $\mu \neq 0$  в (6). Приведенная в [8] (см. также [9]) двухступенчатая процедура позволяет минимизировать правую часть (9) по  $k = k_n$  и  $r$ . Применяв эту процедуру, получаем, что  $r^* = \rho/\gamma$  является оптимальным выбором параметра  $r$ , в то время как оптимальный выбор  $k_n^*(r^*)$  для последовательности  $k = k_n$  удовлетворяет асимптотическому соотношению

$$(10) \quad k_n^*(r^*) \sim \left( \frac{\gamma^2 \sigma^2(r^*)}{\nu^2(r^*)} \right)^{1/(1-2\rho)} \cdot \frac{n}{a^{\leftarrow}(1/n)}, \quad n \rightarrow \infty.$$

Здесь  $a^{\leftarrow}$  обозначает функцию, обратную к функции  $a$ , которая определяется так:

$$(11) \quad A^2(t) \sim \int_t^{\infty} a(x) dx, \quad t \rightarrow \infty.$$

Теперь сравним  $\hat{\gamma}_n(k, r)$  с несколькими параметризованными оценками:

$$\hat{\gamma}_n^{(1)}(k, r) = \begin{cases} (G_n(k, r, 0) - 1) / (rG_n(k, r, 0)), & r \neq 0, \\ \gamma_n^{(H)}(k), & r = 0, \end{cases}$$

$$\hat{\gamma}_n^{(2)}(k, r) = (G_n(k, 0, r) / \Gamma(r + 1))^{1/r},$$

$$\hat{\gamma}_n^{(3)}(k, r) = \frac{2G_n(k, r, 1)}{2rG_n(k, r, 1) + 1 + \sqrt{4rG_n(k, r, 1) + 1}},$$

$$\hat{\gamma}_n^{(4)}(k, r) = \begin{cases} (rG_n(k, r, 1) - G_n(k, r, 0) + 1)(r^2G_n(k, r, 1))^{-1}, & r \neq 0, \\ \gamma_n^{(mr)}(k), & r = 0, \end{cases}$$

где  $\Gamma(\cdot)$  обозначает гамма-функцию. Параметризованная оценка  $\hat{\gamma}_n^{(1)}(k, r)$  введена независимо в [8–10]. Она совпадает с оценкой Хилла [3] при  $r = 1$ . Параметризованная оценка  $\hat{\gamma}_n^{(2)}(k, r)$  введена в [11]. Следует отметить, что класс оценок  $\hat{\gamma}_n^{(2)}(k, r)$  обобщает оценку Хилла  $\hat{\gamma}_n^{(2)}(k, 1)$  и оценку  $\hat{\gamma}_n^{(2)}(k, 2)$ , приведенную в [12]. Параметризованные оценки  $\hat{\gamma}_n^{(\ell)}(k, r)$ ,  $\ell = 3, 4$ , были представлены в [2]. Оценка  $\hat{\gamma}_n^{(3)}(k, 0)$  совпадает с оценкой Хилла [3], в то время как оценка  $\hat{\gamma}_n^{(4)}(k, 0)$  – с оценкой отношения моментов.

В следующей теореме собраны результаты об асимптотической нормальности оценок  $\hat{\gamma}_n^{(\ell)}(k, r)$ ,  $\ell = 1, 2, 3, 4$ . Соответствующие доказательства можно найти в [8] (см. также [9, 10]), [2, 11].

*Теорема 3. Пусть выполнены условия теоремы 2 (ограничение  $\gamma r < 1/2$  для  $\hat{\gamma}_n^{(2)}(k, r)$  не требуется).*

*Тогда*

$$\sqrt{k} \left( \hat{\gamma}_n^{(\ell)}(k, r) - \gamma \right) \xrightarrow{d} \mathcal{N}(\mu\nu_\ell(r), \gamma^2 \sigma_\ell^2(r)), \quad n \rightarrow \infty, \quad \ell = 1, 2, 3, 4,$$

где

$$\begin{aligned}\nu_1(r) &= \frac{1 - \gamma r}{1 - \gamma r - \rho}, & \sigma_1^2(r) &= \frac{(1 - \gamma r)^2}{1 - 2\gamma r}, \\ \nu_2(r) &= \frac{1 - (1 - \rho)r}{r\rho(1 - \rho)^r}, & \sigma_2^2(r) &= \frac{1}{r^2} \left( \frac{\Gamma(2r + 1)}{\Gamma^2(r + 1)} - 1 \right), \\ \nu_3(r) &= \frac{(1 - \gamma r)(1 - \rho - \gamma^2 r^2)}{(1 + \gamma r)(1 - \rho - \gamma r)^2}, & \sigma_3^2(r) &= \frac{(1 - \gamma r)^2(1 - 2\gamma r + 2\gamma^4 r^4)}{(1 + \gamma r)^2(1 - 2\gamma r)^3}, \\ \nu_4(r) &= \frac{(1 - \gamma r)^2}{(1 - \rho - \gamma r)^2}, & \sigma_4^2(r) &= \frac{2(1 - \gamma r)^4}{(1 - 2\gamma r)^3}.\end{aligned}$$

Более того,

$$r_1^* = \gamma^{-1} \left( 2 - \rho + \sqrt{(2 - \rho)^2 - 2} \right)^{-1}, \quad r_3^* = 2\rho\gamma^{-1} \left( 2 - \rho + \sqrt{(2 - \rho)^2 - 4\rho} \right)^{-1}$$

— оптимальные значения параметра  $r$  для параметризованных оценок  $\hat{\gamma}_n^{(1)}(k, r)$  и  $\hat{\gamma}_n^{(3)}(k, r)$  соответственно. В то же время решение  $r_2^*$  уравнения

$$\frac{d}{dr} \left( (\nu_2(r))^2 (\sigma_2^2(r))^{-2\rho} \right) = 0$$

является оптимальным значением параметра  $r$  для  $\hat{\gamma}_n^{(2)}(k, r)$ , а  $r_4^* = R^*/\gamma$  — оптимальным значением параметра  $r$  для  $\hat{\gamma}_n^{(4)}(k, r)$ , где  $R^*$  — решение уравнения

$$\frac{d}{dR} \left( (\nu_4(R/\gamma))^2 (\sigma_4^2(R/\gamma))^{-2\rho} \right) = 0.$$

Пусть  $k_{n,\ell}^*(r_\ell^*)$ ,  $\ell = 1, 2, 3, 4$ , обозначает последовательности, удовлетворяющие соотношению (10), где величины  $\nu(r^*)$  и  $\sigma^2(r^*)$  заменены на  $\nu_\ell(r_\ell^*)$  и  $\sigma_\ell^2(r_\ell^*)$  соответственно. Следуя [6], будем считать, что оценка  $\hat{\gamma}_n(k_n^*(r^*), r^*)$  превосходит оценку  $\hat{\gamma}_n^{(\ell)}(k_{n,\ell}^*(r_\ell^*), r_\ell^*)$  на луче  $\{(\gamma, \rho) : \rho = \rho_0, \gamma > 0\}$ , если  $\psi_\ell(\rho_0) > 1$ , где

$$\psi_\ell(\rho) = \lim_{n \rightarrow \infty} \frac{\mathbb{E} \left( \hat{\gamma}_n^{(\ell)}(k_{n,\ell}^*(r_\ell^*), r_\ell^*) - \gamma \right)^2}{\mathbb{E} \left( \hat{\gamma}_n(k_n^*(r^*), r^*) - \gamma \right)^2}.$$

Легко проверить, что

$$(12) \quad \psi_\ell(\rho) = \left( \frac{\nu_\ell^2(r_\ell^*)}{\nu^2(r^*)} \left( \frac{\sigma_\ell^2(r_\ell^*)}{\sigma^2(r^*)} \right)^{-2\rho} \right)^{1/(1-2\rho)}.$$

Предполагаем, что оценка  $\hat{\gamma}_n(k_n^*(r^*), r^*)$  превосходит оценки  $\hat{\gamma}_n^{(\ell)}(k_{n,\ell}^*(r_\ell^*), r_\ell^*)$ ,  $\ell = 1, 2, 3, 4$ , в области  $\{(\gamma, \rho) : \rho < 0, \gamma > 0\}$ , но доказать неравенства  $\psi_\ell(\rho) > 1$ ,

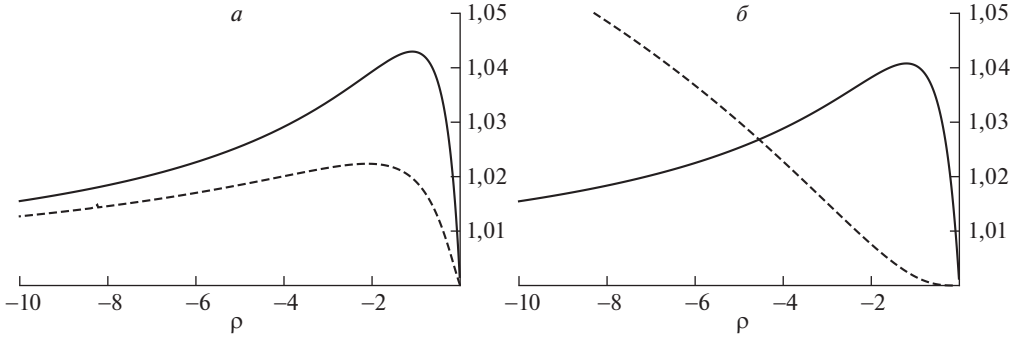


Рис. 1. *a* – Графики функций  $\psi_1(\rho)$  (сплошная линия) и  $\psi_2(\rho)$  (точечная линия); *б* –  $\psi_3(\rho)$  (сплошная линия),  $\psi_4(\rho)$  (штриховая линия).

$\ell = 1, 2, 3, 4$ , для всех  $\rho < 0$  представляется серьезной проблемой. Поэтому здесь приводим лишь графики функций  $\psi_\ell(\rho)$ ,  $\ell = 1, 2$ , на рис. 1, *a* и  $\psi_\ell(\rho)$ ,  $\ell = 3, 4$ , – на рис. 1, *б* соответственно. Отсюда можно заключить, что  $\psi_\ell(\rho) > 1$ ,  $\ell = 1, 2, 3, 4$ , для  $-10 \leq \rho < 0$ , т.е. оценка  $\hat{\gamma}_n(k_n^*(r^*), r^*)$  превосходит оценки  $\hat{\gamma}_n^{(\ell)}(k_{n,\ell}^*(r_\ell^*), r_\ell^*)$ ,  $\ell = 1, 2, 3, 4$ , в области  $\{(\gamma, \rho) : -10 \leq \rho < 0, \gamma > 0\}$ .

Во введении было замечено, что класс оценок  $\hat{\gamma}_n(k_n(r), r)$  обобщает две классические оценки: оценку отношения моментов  $\gamma_n^{(mr)}(k)$  и оценку Хилла  $\gamma_n^{(H)}(k)$ . Поэтому сравним предложенную оценку  $\hat{\gamma}_n(k_n^*(r^*), r^*)$  с этими оценками (при оптимальном выборе последовательности  $k = k_n$  для каждой). Как и в (12), определим

$$(13) \quad \psi^{(0)}(\rho) = \left( \frac{\nu^2(0)}{\nu^2(r^*)} \left( \frac{\sigma^2(0)}{\sigma^2(r^*)} \right)^{-2\rho} \right)^{1/(1-2\rho)},$$

$$\psi^{(-\infty)}(\rho) = \left( \frac{\nu^2(-\infty)}{\nu^2(r^*)} \left( \frac{\sigma^2(-\infty)}{\sigma^2(r^*)} \right)^{-2\rho} \right)^{1/(1-2\rho)},$$

где  $\nu(-\infty) = \lim_{r \rightarrow -\infty} \nu^2(r)$  и  $\sigma^2(-\infty) = \lim_{r \rightarrow -\infty} \sigma^2(r)$ . Подставляя параметры нормального закона (8) и  $r^* = \rho/\gamma$  в (13), получим

$$\psi^{(0)}(\rho) = \left( \frac{(1-2\rho)^{2-2\rho}}{(1-\rho)^{4-2\rho}} \right)^{1/(1-2\rho)},$$

$$\psi^{(-\infty)}(\rho) = \left( \frac{2^{-2\rho}(1-2\rho)^{2+2\rho}}{(1-\rho)^{2+2\rho}} \right)^{1/(1-2\rho)}.$$

Легко проверить, что выполнено  $\psi^{(0)}(\rho) \rightarrow 1$ ,  $\psi^{(-\infty)}(\rho) \rightarrow 1$ ,  $\rho \uparrow 0$  и  $\psi^{(0)}(\rho) \rightarrow 2$ ,  $\psi^{(-\infty)}(\rho) \rightarrow 1$ ,  $\rho \rightarrow -\infty$ . Более того, выполнены неравенства

$$(14) \quad \psi^{(0)}(\rho) > 1, \quad \psi^{(-\infty)}(\rho) > 1$$

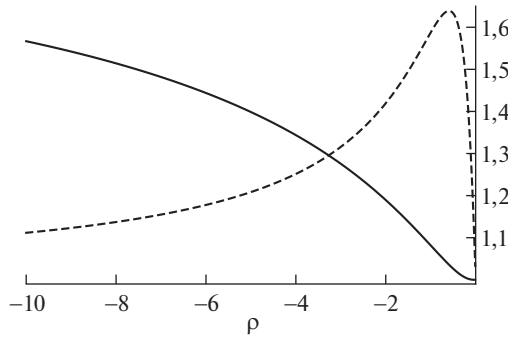


Рис. 2. Графики функций  $\psi^{(0)}(\rho)$  (сплошная линия),  $\psi^{(-\infty)}(\rho)$  (штриховая линия).

для всех  $\rho < 0$ . Доказательство неравенств (14) приведено в разделе 4. Неравенства (14) позволяют заключить, что оценка  $\hat{\gamma}_n(k_n^*(r^*), r^*)$  превосходит оценки отношения моментов и Хилла на всей области параметров  $\{(\gamma, \rho) : \rho < 0, \gamma > 0\}$ . Для наглядности приведем графики функций  $\psi^{(0)}(\rho)$  и  $\psi^{(-\infty)}(\rho)$ ,  $-10 \leq \rho < 0$ , на рис. 2.

### 3. Предлагаемый алгоритм и примеры его применения

Как правило, в приложениях используется более ограничительное, чем (5), условие. А именно предполагается, что функция квантилей  $U$  принадлежит классу Холла (см. [13, 14]), т.е.

$$(15) \quad U(t) = Ct^\gamma \left( 1 + \frac{A(t)}{\rho} (1 + o(1)) \right), \quad t \rightarrow \infty,$$

где  $C > 0$ ,  $\beta \neq 0$ ,  $\rho < 0$  и  $A(t) = \gamma\beta t^\rho$ . Используя (11), находим  $a^\leftarrow(t) = (-2\rho\gamma^2\beta^2)^{1/(1-2\rho)} t^{1/(2\rho-1)}$ . Теперь, используя правую часть (10), можно построить оценки для  $k_n^*(0)$  и  $k_n^*(r^*)$ :

$$\tilde{k}_n^* = \left[ \left( \frac{(1 - \hat{\rho}_n)^4}{-\hat{\rho}_n \hat{\beta}_n^2 n^2 \hat{\rho}_n} \right)^{1/(1-2\hat{\rho}_n)} \right],$$

$$\hat{k}_n^* = \left[ \left( \frac{(1 - \hat{\rho}_n)(1 - 2\hat{\rho}_n)}{-\hat{\rho}_n \hat{\beta}_n^2 n^2 \hat{\rho}_n} \right)^{1/(1-2\hat{\rho}_n)} \right],$$

где  $[\cdot]$  обозначает целую часть числа. Оценим параметр  $\rho$  с помощью оценки  $\hat{\rho}_n = \hat{\rho}_n(k)$ , предложенной в [15]. Оценка  $\hat{\rho}_n(k)$  задается как

$$(16) \quad \hat{\rho}_n(k) = -3 \left| \frac{G_n(k, 0, 1) - 2(G_n(k, 0, 2)/2)^{1/2} + (G_n(k, 0, 3)/6)^{1/3}}{G_n(k, 0, 1) - 4(G_n(k, 0, 2)/2)^{1/2} + 3(G_n(k, 0, 3)/6)^{1/3}} \right|,$$

где статистики  $G_n(k, r, v)$  определены в (2).

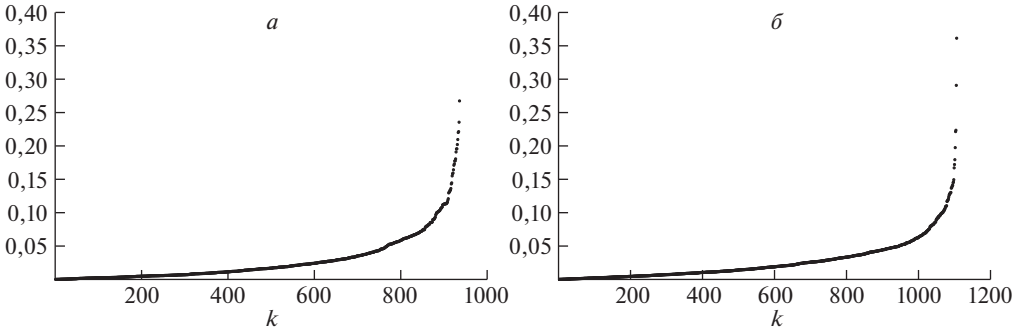


Рис. 3. *a* – График  $\{(k, R_{k,n_1}^{-}), 1 \leq k \leq n_1\}$ ; *б* – график  $\{(k, R_{k,n_2}^{+}), 1 \leq k \leq n_2\}$ .

Чтобы оценить параметр  $\beta$ , используем оценку  $\hat{\beta}_n = \hat{\beta}_n(k, \hat{\rho}_n)$ , которая введена в [16] и определяется как

$$(17) \quad \hat{\beta}_n(k, \rho) = \left(\frac{k}{n}\right)^\rho \frac{\left(\frac{1}{k} \sum_{i=1}^k \left(\frac{k}{n}\right)^{-\rho}\right) \left(\frac{1}{k} \sum_{i=1}^k U_i\right) - \frac{1}{k} \sum_{i=1}^k \left(\frac{k}{n}\right)^{-\rho} U_i}{\left(\frac{1}{k} \sum_{i=1}^k \left(\frac{k}{n}\right)^{-\rho}\right) \left(\frac{1}{k} \sum_{i=1}^k \left(\frac{k}{n}\right)^{-\rho} U_i\right) - \frac{1}{k} \sum_{i=1}^k \left(\frac{k}{n}\right)^{-2\rho} U_i},$$

где  $U_i = i \ln(X_{n-i+1,n}/X_{n-i,n})$ . Применяя оценки (16), (17), использовали  $k = [n^{0,995}]$ . Такой выбор последовательности  $k = k_n$  рекомендуется в [17], см. также [15].

Теперь приступим к описанию алгоритма для адаптивного оценивания  $\gamma$ . Напомним, что  $r^* = \rho/\gamma$  является оптимальным значением параметра  $r$  для  $\hat{\gamma}_n(k_n^*(r^*), r^*)$ . Поэтому, чтобы оценить  $r^*$ , нужна не только оценка параметра  $\rho$ , но и предварительная оценка хвостового индекса  $\gamma$ . Для этого включаем классическую оценку  $\hat{\gamma}_n(k, 0)$  в предлагаемый алгоритм.

#### Алгоритм 1.

1. Вычислить оценки  $\hat{\rho}_n$  и  $\hat{\beta}_n$ , используя (16) и (17) соответственно.
2. Вычислить оценку  $\tilde{k}_n^*$ , используя (16).
3. Вычислить предварительную оценку  $\hat{\gamma}_n(\tilde{k}_n^*, 0)$ .
4. Вычислить  $\hat{r}^* = \hat{\rho}_n / \hat{\gamma}_n(\tilde{k}_n^*, 0)$ .
5. Вычислить оценку  $\hat{k}_n^*$ , используя (16).
6. Вычислить  $\hat{\gamma}_n(\hat{k}_n^*, \hat{r}^*)$ .

Опишем применение приведенного алгоритма к нескольким наборам реальных данных.

і. Проанализируем ежедневные цены отношения Биткоин/Доллар США (Bitcoin/USD) с размером выборки  $n = 2043$  в период с 28 апреля 2013 г. до 30 ноября 2018 г. Пусть  $R_t = \ln(x_t/x_{t-1})$ ,  $2 \leq t \leq n$ , обозначает так называемые лог-возвраты (the log-returns) заданного временного ряда  $X_t$ ,  $1 \leq t \leq n$ . Оценим левый хвост  $F(-x)$ ,  $x > 0$ , и правый хвост  $1 - F(x)$ ,  $x > 0$ , отдельно. Пусть  $R_{1,n_1}^- \leq \dots \leq R_{n_1,n_1}^-$ ,  $n_1 = 936$ , обозначают порядковые статисти-



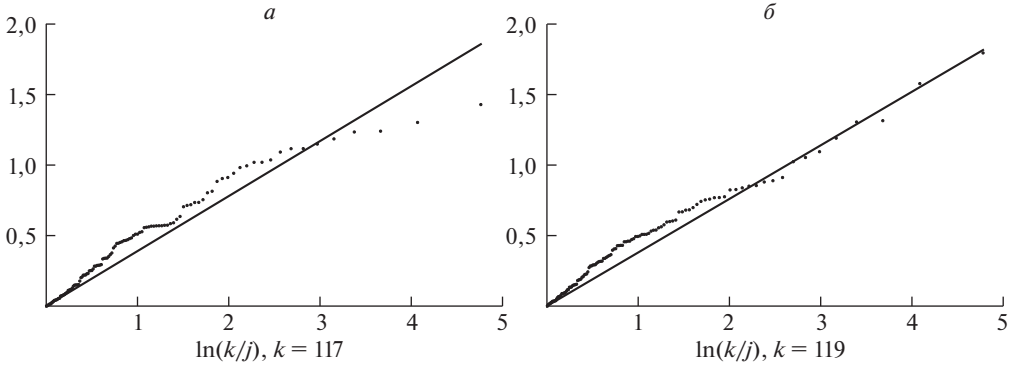


Рис. 4. *a* – График  $S_{n_1}(R^-; \hat{k}_{n_1}^* + 1)$  с линией  $(x, \hat{\gamma}_{n_1}(\hat{k}_{n_1}^*, \hat{r}^*)x)$ , *б* –  $S_{n_2}(R^+; \hat{k}_{n_2}^* + 1)$  с линией  $(x, \hat{\gamma}_{n_2}(\hat{k}_{n_2}^*, \hat{r}^*)x)$ .

ки абсолютных величин отрицательных лог-возвратов, а  $R_{1,n_2}^+ \leq \dots \leq R_{n_2,n_2}^+$ ,  $n_2 = 1106$ , – порядковые статистики положительных лог-возвратов. Графики  $\left\{ \left( k, R_{k,n_1}^- \right), 1 \leq k \leq n_1 \right\}$  и  $\left\{ \left( k, R_{k,n_2}^+ \right), 1 \leq k \leq n_2 \right\}$  довольно близки, см. рис. 3.

Представленный алгоритм дает следующие оценки:  $\hat{\gamma}_{n_1}(\hat{k}_{n_1}^*, \hat{r}^*) = 0,39$  ( $\hat{r}^* = -1,90$ ,  $\hat{k}_{n_1}^* = 116$ ) и  $\hat{\gamma}_{n_2}(\hat{k}_{n_2}^*, \hat{r}^*) = 0,38$  ( $\hat{r}^* = -1,78$ ,  $\hat{k}_{n_2}^* = 118$ ). Чтобы продемонстрировать, насколько хорошо полученные оценки параметра  $\gamma$  приближают данные, используем предложение 4.1 из [18]. Оно утверждает в предположениях теоремы 1, что

$$(18) \quad S_n(X; k) = \left\{ \left( -\ln \left( \frac{j}{k} \right), \ln \left( \frac{X_{n+1-j,n}}{X_{n+1-k,n}} \right) \right), 1 \leq j \leq k \right\}$$

сходится по вероятности к множеству  $\{(x, \gamma x), 0 \leq x < \infty\}$ . На рис. 4, *a* показан график  $S_{n_1}(R^-; \hat{k}_{n_1}^* + 1)$  и линия  $(x, \hat{\gamma}_{n_1}(\hat{k}_{n_1}^*, \hat{r}^*)x)$ . В (18) выбрано  $k = \hat{k}_{n_1}^* + 1$ , поскольку отношения  $R_{n_1-i,n_1}^- / R_{n_1-k,n_1}^-$ ,  $0 \leq i \leq k - 1 = \hat{k}_{n_1}^*$ , были использованы для вычисления оценки  $\hat{\gamma}_{n_1}(\hat{k}_{n_1}^*, \hat{r}^*)$ . Можно заметить, что линия  $(x, \hat{\gamma}_{n_1}(\hat{k}_{n_1}^*, \hat{r}^*)x)$  отражает график  $S_{n_1}(R^-; \hat{k}_{n_1}^* + 1)$  довольно хорошо. Аналогичное заключение можно сделать, анализируя положительные лог-возвраты, см. рис. 4, *б*. Стоит отметить, что полученные оценки не противоречат стилизованному факту финансовой доходности: распределение лог-возвратов принадлежит классу  $RV_{-1/\gamma}$  (или эквивалентно  $U \in RV_\gamma$ ) с хвостовым индексом  $0,2 < \gamma < 0,5$  для многих изученных наборов данных.

ii. Оценим хвостовой индекс  $\gamma$  распределения временных промежутков (the inter-arrivals) между появлениями пакетов информации в потоках ТСП (Transmission Control Protocol). Используем трассировки (traces), содержащие измерения одночасового трафика, передаваемого на большие расстояния, между Digital Equipment Corporation и остальным миром с 8 марта 1995 г. (см. <http://ita.ee.lbl.gov/html/contrib/dec-pkt.html>). Данные включают  $n_3 =$

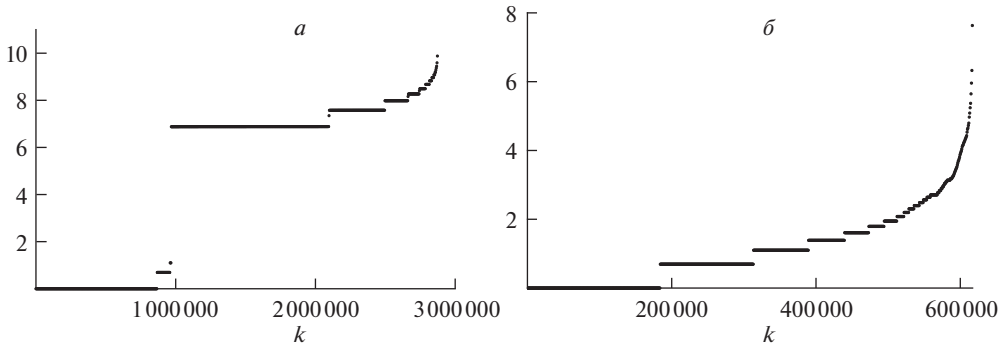


Рис. 5. *a* – График  $\{k, \ln(X_{k,n_j}), 1 \leq k \leq n_j\}$  для временных промежутков между появлениями пакетов ( $j = 3$ ); *б* – график для числа входящих связей (in-degrees) узлов сети ( $j = 4$ ).

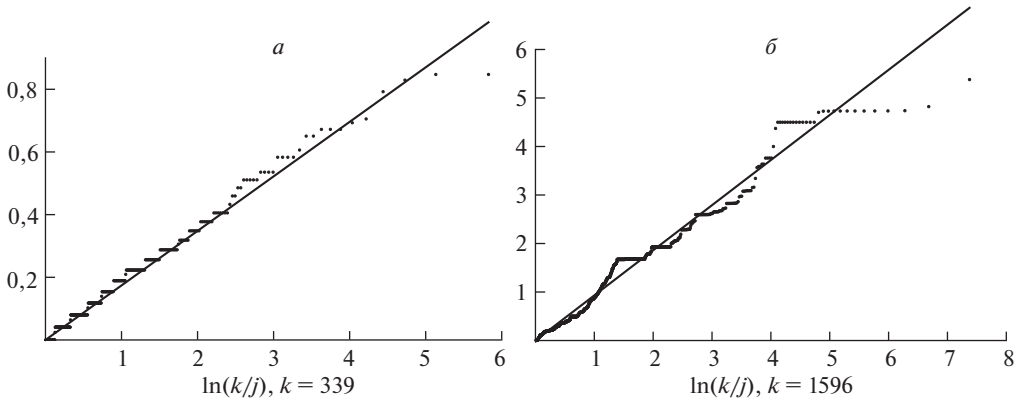


Рис. 6. *a* – График  $S_{n_j}(X; \hat{k}_{n_j}^* + 1)$  с линией  $(x, \hat{\gamma}_{n_j}(\hat{k}_{n_j}^* x, \hat{r}^*))$  для временных промежутков между появлениями пакетов ( $j = 3$ ); *б* – график числа входящих связей (in-degrees) для узлов ( $j = 4$ ).

$= 2873588$  временных промежутков между появлениями пакетов, см. рис. 5, *a*, где представлена зависимость  $\{k, \ln(X_{k,n_3}), 1 \leq k \leq n_3\}$ .

Применяя предложенный алгоритм, получим оценку  $\hat{\gamma}_{n_3}(\hat{k}_{n_3}^*, \hat{r}^*) = 0,17$  ( $\hat{r}^* = -1,2; \hat{k}_{n_3}^* = 338$ ). Линия  $(x, \hat{\gamma}_{n_3}(\hat{k}_{n_3}^* x, \hat{r}^*))$  хорошо соответствует графику  $S_{n_3}(X; \hat{k}_{n_3}^* + 1)$ , см. рис. 6, *a*. Оценка оптимального выбора  $k_{n_3}^*$  составляет только 0,011% от  $n_3$ , что несколько странно. Следует отметить, что те же данные временных промежутков между пакетами были рассмотрены в [19]. В [19] было найдено, что 3% от наибольшей порядковой статистики хорошо описываются распределением Парето с  $\gamma = 1,05$ . К сожалению, авторы не нашли объяснения, как было оценено  $\gamma$  в [19]. Анализ трафика, полученного при ТСР соединениях, содержится в [20]. Применяя технику QQ-графика, в [20] было замечено, что распределение временных промежутков между пакетами принадлежит классу распределений  $RV_{-1/\gamma}$  с  $\gamma = 0,57$ .

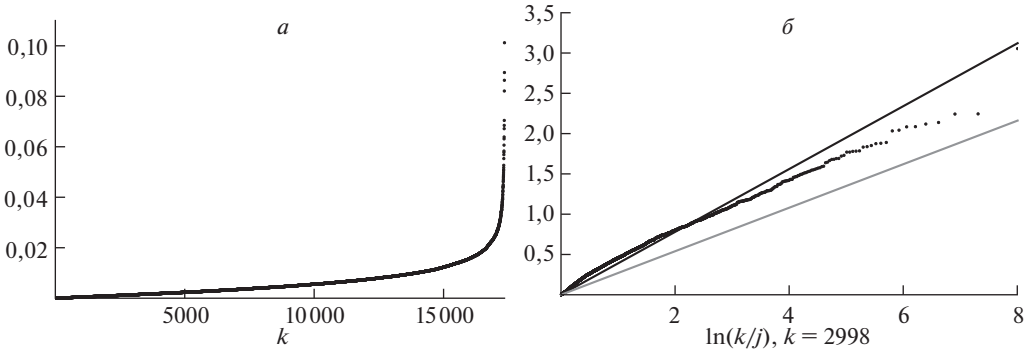


Рис. 7. Графики для лог-возвратов индекса S&P 500.

iii. Многие авторы (см., например, [21] и библиографию в ней) согласны с тем, что распределение числа входящих связей (in-degrees) узлов принадлежит классу  $RV_\gamma$  с  $\gamma = 0,91$ . Здесь используем данные Беркли–Стенфорд (Berkley–Stanford data) [22] с числом Веб страниц  $n_4 = 617094$ , см. рис. 5,б. Найдено, что  $\hat{\gamma}_{n_4}(\hat{k}_{n_4}^*, \hat{r}^*) = 0,93$  ( $\hat{r}^* = -0,32$ ,  $\hat{k}_{n_3}^* = 1595$ ). Таким образом, полученная в статье оценка  $\gamma$  согласуется с результатами статьи [21]. На рис. 6,б показан график  $S_{n_4}(X; \hat{k}_{n_4}^* + 1)$  и линия  $(x, \hat{\gamma}_{n_4}(\hat{k}_{n_4}^*, \hat{r}^*) x)$  как показатель хорошей точности полученной в статье оценки хвостового индекса  $\gamma$ .

iv. Исследуем еще один набор лог-возвратов. Известные данные индекса S&P 500 взяты из <https://finance.yahoo.com>. За период 1950/01/03–2018/12/21 этот набор данных содержит  $n_5 = 17356$  абсолютных величин лог-возвратов  $\tilde{R}_k = |R_k|$ , см. рис. 7,а для графика  $\{k, \ln(\tilde{R}_{k,n_5}), 1 \leq k \leq n_5\}$ . Предложенный в статье алгоритм дает оценку  $\hat{\gamma}_{n_5}(\hat{k}_{n_5}^*, \hat{r}^*) = 0,39$  ( $\hat{r}^* = 4,61$ ,  $\hat{k}_{n_5}^* = 2997$ ). В статистической литературе нет единого мнения о тяжести хвоста для распределения набора  $\tilde{R}_k$ ,  $1 \leq k \leq n_5$ . Например, в [23], используя оценку Хилла и выбирая значение, соответствующее интервалу постоянства графика зависимости оценки Хилла от числа наибольших порядковых статистик  $k$ , получена оценка  $\hat{\gamma}_{n_5} = 0,27$ , а в статье [24] показано, что исследуемый набор лог-возвратов состоит из трех подвыборок, для которых оценки хвостового индекса следующие:  $\hat{\gamma} = 0,22$ ,  $\hat{\gamma} = 0,28$ ,  $\hat{\gamma} = 0,21$ . На рис. 7,б представлен график  $S_{n_5}(\tilde{R}; \hat{k}_{n_5}^* + 1)$ , где линия  $(x, x\hat{\gamma}_{n_5}(\hat{k}_{n_5}^*, \hat{r}^*))$  показана черным цветом, а соответствующая оценка Хилла  $(x, x\hat{\gamma}_{n_5})$  – серым цветом. Таким образом, полученная в статье оценка лучше приближает данные, чем оценка Хилла.

#### 4. Заключение

В статье предложен новый класс семипараметрических оценок хвостового индекса. Этот класс получен путем использования параметризованных статистик  $G_n(k, r)$ .

Доказаны слабая сходимость и асимптотическая нормальность введенных оценок при классических условиях на функцию квантилей  $U$  и последовательность  $k = k_n$ , а также при дополнительном условии на параметр настройки  $r$ . Теорема 2 является главным результатом статьи. Имея асимптотическую нормальность, становится возможным (i) сравнить оценки  $\hat{\gamma}_n(k, r)$  с другими асимптотически нормально распределенными оценками хвостового индекса; (ii) построить оценки оптимального выбора последовательности  $k = k_n$  и параметра настройки  $r$ . В разделе 3 продемонстрировано, что параметризованная оценка  $\hat{\gamma}_n(k, r)$  превосходит классические оценки отношения моментов  $\hat{\gamma}_n^{(mr)}(k)$  и Хилла  $\hat{\gamma}_n^{(H)}(k)$  (при соответствующем оптимальном выборе последовательности  $k = k_n$  и параметра настройки  $r$ ) в области изменения параметров  $\{(\gamma, \rho) : \rho < 0, \gamma > 0\}$ . Доминирование предложенного в настоящей статье нового класса оценок над некоторыми недавно полученными оценками позволяет надеяться на полезность предложенных оценок в оценивании хвостового индекса.

Основываясь на  $r^* = \rho/\gamma$  и соотношении (10), построены оценки оптимального выбора параметра настройки  $r$  и последовательности  $k = k_n$ . Предложенный алгоритм для оценивания  $\gamma$  является адаптивной процедурой. Можно заметить, что предложенный алгоритм детализирует классическую оценку отношения моментов  $\hat{\gamma}_n^{(mr)}(k)$ . Очевидно, что сначала оцениваются  $\hat{\gamma}_n(\tilde{k}_n^*, 0)$  (шаг 3 в алгоритме), а после оценивания  $r^*$  считается оценка  $\hat{\gamma}_n(\hat{k}_n^*, \hat{r}^*)$  (шаг 6 в алгоритме). Предложенный алгоритм легко реализуем. Его работоспособность продемонстрирована на нескольких наборах реальных данных.

## ПРИЛОЖЕНИЕ

*Доказательство теоремы 1.* По теореме 1.1 из [2] имеем, что

$$(П.1) \quad G_n(k, r, v) \xrightarrow{P} \frac{\gamma^v \Gamma(1+v)}{(1-\gamma r)^{1+v}}, \quad n \rightarrow \infty.$$

Остается применить теорему о непрерывном отображении (the continuous mapping theorem) ([25]; теорема 12.5.1 (iv) в [26]).

*Доказательство теоремы 2.* Случай  $r = 0$  исследован в [6], и поэтому в статье нужно рассмотреть только случай  $\gamma r < 1/2$ ,  $r \neq 0$ .

Имеем  $\hat{\gamma}_n(k, r) - \gamma = S_n(k, r) / (G_n(k, r, 0) - 1)$ , где

$$S_n(k, r) = \frac{(1-\gamma r)(G_n(k, r, 0) - 1)}{r} - G_n(k, 0, 1).$$

Имея в виду (П.1), отношение (7) будет доказано, если показать, что

$$(П.2) \quad \sqrt{k} S_n(k, r) \xrightarrow{d} \mathcal{N} \left( \frac{\gamma r \mu}{(1-\rho)(1-\gamma r-\rho)}, \frac{2\gamma^4 r^2}{(1-\gamma r)(1-2\gamma r)} \right), \quad n \rightarrow \infty.$$

Пусть  $Y_1, \dots, Y_n$  – н.о.р. сл.в. с хвостовой функцией  $\mathbb{P}(Y_1 > x) = 1/x$ ,  $x \geq 1$ . Заметим, что  $U(Y_i) \stackrel{d}{=} X_i$ ,  $1 \leq i \leq n$ . Это дает, что

$$S_n(k, r) \stackrel{d}{=} \frac{1}{k} \sum_{i=0}^{k-1} \left\{ (1 - \gamma r) f_r \left( \frac{U(Y_{n-i,n})}{U(Y_{n-k,n})} \right) - \ln \left( \frac{U(Y_{n-i,n})}{U(Y_{n-k,n})} \right) \right\},$$

где  $f_r(x) = r^{-1}(x^r - 1)$ ,  $x \geq 1$ , – та же, что в (5), функция.

В [8] получены следующие неравенства. Для функции  $\tilde{A}(t)$  такой, что  $\tilde{A}(t) \sim A(t)$  при  $t \rightarrow \infty$ , при любых  $\varepsilon > 0$  и  $0 < \delta < \min\{1 - \gamma r - \rho, 1 - \rho\}$  существует  $t_0 = t_0(\varepsilon, \delta)$ , что для  $t > t_0$  и  $x > 1$  выполнено неравенство

$$(II.3) \quad \left| f_r \left( \frac{U(tx)}{U(t)} \right) - f_r(x^\gamma) - \tilde{A}(t)x^{\gamma r} f_\rho(x) \right| \leq \varepsilon |\tilde{A}(t)| x^{\gamma r + \rho + \delta}.$$

Неравенство (II.3) выполнено также для случая  $r = 0$ , см. например, с. 74 в [7]. Таким образом, из (II.3) получим, что

$$(II.4) \quad \left| (1 - \gamma r) f_r \left( \frac{U(tx)}{U(t)} \right) - \ln \left( \frac{U(tx)}{U(t)} \right) - (1 - \gamma r) f_r(x^\gamma) + \ln(x^\gamma) - \tilde{A}(t) f_\rho(x) ((1 - \gamma r)x^{\gamma r} - 1) \right| \leq \varepsilon |\tilde{A}(t)| x^{\rho + \delta} (x^{\gamma r} + 1).$$

По лемме 3.2.1 из [7] в предположении  $k = o(n)$  имеем, что  $Y_{n-k,n} \rightarrow \infty$  почти наверное. Подставляя  $x = Y_{n-i,n}/Y_{n-k,n}$  и  $t = Y_{n-k,n}$  в (II.4) и производя суммирование по  $i = 0, 1, \dots, k-1$ , получим

$$(II.5) \quad \left| S_n(k, r) - S_n^{(1)}(k, r) - \tilde{A}(Y_{n-k,n}) S_n^{(2)}(k, r) \right| \leq \varepsilon |\tilde{A}(Y_{n-k,n})| S_n^{(3)}(k, r),$$

где

$$S_n^{(1)}(k, r) = \frac{1}{k} \sum_{i=0}^{k-1} \left\{ (1 - \gamma r) f_r \left( \left( \frac{Y_{n-i,n}}{Y_{n-k,n}} \right)^\gamma \right) - \ln \left( \left( \frac{Y_{n-i,n}}{Y_{n-k,n}} \right)^\gamma \right) \right\},$$

$$S_n^{(2)}(k, r) = \frac{1}{k} \sum_{i=0}^{k-1} f_\rho \left( \frac{Y_{n-i,n}}{Y_{n-k,n}} \right) \left\{ (1 - \gamma r) \left( \frac{Y_{n-i,n}}{Y_{n-k,n}} \right)^{\gamma r} - 1 \right\},$$

$$S_n^{(3)}(k, r) = \frac{1}{k} \sum_{i=0}^{k-1} \left( \frac{Y_{n-i,n}}{Y_{n-k,n}} \right)^{\rho + \delta} \left\{ \left( \frac{Y_{n-i,n}}{Y_{n-k,n}} \right)^{\gamma r} + 1 \right\}.$$

Далее, отношение (II.2) следует из

$$(II.6) \quad \sqrt{k} S_n^{(1)}(k, r) \xrightarrow{d} \mathcal{N} \left( 0, \frac{2\gamma^4 r^2}{(1 - \gamma r)(1 - 2\gamma r)} \right),$$

$$(II.7) \quad \sqrt{k} \tilde{A}(Y_{n-k,n}) S_n^{(2)}(k, r) \xrightarrow{P} \frac{\gamma^r \mu}{(1 - \rho)(1 - \gamma r - \rho)},$$

$$(II.8) \quad \sqrt{k} |\tilde{A}(Y_{n-k,n})| S_n^{(3)}(k, r) \xrightarrow{P} \frac{|\mu|}{1 - \gamma r - \rho - \delta} + \frac{|\mu|}{1 - \rho - \delta},$$

при  $n \rightarrow \infty$ .

Пусть  $Z_1, \dots, Z_n$  – н.о.р. сл.в. с хвостовой функцией  $\mathbb{P}(Z_1 > x) = 1/x$ ,  $x \geq 1$ . По представлению Реньи (Rényi) имеем для фиксированного  $k < n$ :

$$(II.9) \quad \left( \frac{Y_{n-i,n}}{Y_{n-k,n}}, \quad 0 \leq i \leq k-1 \right) \stackrel{d}{=} (Z_{k-i,k}, \quad 0 \leq i \leq k-1).$$

Используя (II.9), получим, что

$$(II.10) \quad S_n^{(1)}(k, r) \stackrel{d}{=} \frac{1}{k} \sum_{i=0}^{k-1} \{(1 - \gamma r) f_r(Z_i^\gamma) - \ln(Z_i^\gamma)\}.$$

Слагаемые в правой части (II.10) – н.о.р. сл.в. с нулевым средним. Более того, в предположении  $\gamma r < 1/2$  получим равенство

$$\text{Var} \{(1 - \gamma r) f_r(Z_1^\gamma) - \ln(Z_1^\gamma)\} = \frac{2\gamma^4 r^2}{(1 - \gamma r)(1 - 2\gamma r)}.$$

Тогда, применяя центральную предельную теорему Линдберга – Леви (Lindeberg – Lévy), получим соотношение (II.6).

Применяя (II.9) еще раз, имеем

$$(II.11) \quad S_n^{(2)}(k, r) \stackrel{d}{=} \frac{1}{k} \sum_{i=0}^{k-1} f_\rho(Z_i) \{(1 - \gamma r) Z_i^{\gamma r} - 1\}.$$

Правая часть (II.11) представляет собой сумму н.о.р. сл.в. с

$$\mathbb{E} \{f_\rho(Z_1^\gamma) \{(1 - \gamma r) Z_1^{\gamma r} - 1\}\} = \frac{\gamma^r}{(1 - \rho)(1 - \gamma r - \rho)}.$$

Из слабого закона больших чисел Хинчина следует соотношение

$$S_n^{(2)}(k, r) \xrightarrow{P} \frac{\gamma^r}{(1 - \rho)(1 - \gamma r - \rho)}, \quad n \rightarrow \infty.$$

Последнее соотношение и  $\tilde{A}(t) \sim A(t)$ ,  $t \rightarrow \infty$ , вместе с предположением (6) и фактом, что  $\tilde{A}(Y_{n-k,n}) / \tilde{A}(n/k) \xrightarrow{P} 1$ ,  $n \rightarrow \infty$ , дают (II.7). Доказательство последнего соотношения может быть найдено на с. 75 в [7].

Доказательство (II.8) подобно доказательству (II.7), поэтому опускаем его.

*Доказательство.* Приведем доказательство неравенств (14).

Начнем с неравенства  $\psi^{(0)}(\rho) > 1$ . Достаточно доказать, что  $(1 - 2\rho)^{1-\rho} > (1 - \rho)^{2-\rho}$  для  $\rho < 0$  или, эквивалентно,  $b(\rho) > 0$ , где  $b(\rho) = (1 - \rho) \ln(1 - 2\rho) - (2 - \rho) \ln(1 - \rho)$ . Имеем

$$\frac{db(\rho)}{d\rho} = \frac{-\rho}{(1 - \rho)(1 - 2\rho)} - \ln \left( 1 + \frac{-\rho}{1 - \rho} \right).$$

Используя неравенство  $\ln(1+x) \geq x/(x+1)$ ,  $x > -1$  (см., например, с. 67 в [27]) с  $x = -\rho/(1-\rho)$ , получим

$$\frac{db(\rho)}{d\rho} \leq \frac{-\rho^2}{(1-\rho)(1-2\rho)} < 0$$

для  $\rho < 0$ . Отсюда следует, что функция  $b(\rho)$  строго убывает на интервале  $(-\infty, 0)$ . Это вместе с  $b(0) = 0$  доказывает, что  $b(\rho) > 0$ ,  $\rho < 0$ .

Для проверки неравенства  $\psi^{(-\infty)}(\rho) > 1$  достаточно его переписать в виде

$$\left( \left( \frac{2-2\rho}{1-2\rho} \right)^{-2\rho} \left( \frac{1-2\rho}{1-\rho} \right)^2 \right)^{1/(1-2\rho)} > 1$$

и заметить, что  $(2-2\rho)/(1-2\rho) > 1$  и  $(1-2\rho)/(1-\rho) > 1$  при  $\rho < 0$ .

#### СПИСОК ЛИТЕРАТУРЫ

1. *Gomes M.I., Guillou A.* Extreme Value Theory and Statistics of Univariate Extremes: A Review // *Int. Stat. Rev.* 2015. No. 83. P. 263–292.
2. *Paulauskas V., Vaičiulis M.* Several New Tail Index Estimators // *Ann. Inst. Stat. Math.* 2017. No. 69. P. 461–487.
3. *Hill B.M.* A Simple General Approach to Inference about the Tail of a Distribution // *Ann. Stat.* 1975. No. 3. P. 1163–1174.
4. *Danielsson J., Jansen D.W., de Vries C.G.* The Method of Moments Ratio Estimator for the Tail Shape Parameter // *Commun. Stat. Theory.* 1986. No. 25. P. 711–720.
5. *Segers J.* Residual Estimators // *J. Stat. Plan. Inf.* 2001. No. 98. P. 15–27.
6. *De Haan L., Peng L.* Comparison of Tail Index Estimators // *Stat. Nederl.* 1998. No. 52. P. 60–70.
7. *De Haan L., Ferreira A.* Extreme Value Theory: An Introduction, N.Y.: Springer, 2006.
8. *Paulauskas V., Vaičiulis M.* On the Improvement of Hill and Some Other Estimators // *Lith. Math. J.* 2013. No. 53. P. 336–355.
9. *Brilhante F., Gomes M.I., Pestana D.* A Simple Generalization of the Hill Estimator // *Comput. Stat. Data Anal.* 2013. No. 57. P. 518–535.
10. *Beran J., Schell D., Stehlik M.* The Harmonic Moment Tail Index Estimator: Asymptotic Distribution and Robustness // *Ann. Inst. Stat. Math.* 2014. No. 66. P. 193–220.
11. *Gomes M.I., Martins M.J.* Efficient Alternatives to the Hill Estimator // *Proc. Workshop V.E.L.A. Extreme Values and Additive Laws. C.E.A.U.L. Ed.* 1999. No. 9. P. 40–43.
12. *Gomes M.I., Martins M.J., Neves M.* Alternatives to a Semi-parametric Estimator of Parameters of Rare Events – the Jackknife Methodology // *Extremes.* 2000. No. 3. P. 207–229.
13. *Hall P., Welsh A.H.* Adaptive Estimates of Parameters of Regular Variation // *Ann. Statist.* 1985. No. 13. P. 331–341.
14. *Hall P.* On Some Simple Estimates of an Exponent of Regular Variation // *J. Royal Statist. Soc. B.* 1982. No. 44. P. 37–42.

15. *Fraga Alves M.I., Gomes M.I., de Haan L.* A New Class of Semi-parametric Estimators of the Second Order Parameter // *Portugaliae Mathematica*. 2003. No. 60. P. 193–214.
16. *Gomes M.I., Martins M.J.* Asymptotically Unbiased Estimators of the Tail Index Based on External Estimation of the Second Order Parameter // *Extremes*. 2002. No. 5. P. 5–31.
17. *Caeiro F., Gomes M.I.* Minimum-variance Reduced-bias Tail Index and High Quantile Estimation // *Revstat*. 2008. No. 6. P. 1–20.
18. *Das B., Resnick S.* QQ Plots, Random Sets and Data from a Heavy Tailed Distribution // *Stochast. Models*. 2008. No. 24. P. 103–132.
19. *Paxson V., Floyd S.* Wide-area Traffic: the Failure of Poisson Modeling // *IEEE/ACM Trans. Networking*. 1995. No. 3. P. 226–244.
20. *Guo L., Crovella M., Matta I.* TCP Congestion Control and Heavy Tails, Technical Report BUCS-2000-017, Computer Science Department. Boston University, 2000.
21. *Volkovich Y.V., Litvak N.* Asymptotic Analysis for Personalized Web Search // *Adv. Appl. Prob.* 2010. No. 42 (2). P. 577–604.
22. *Leskovec J., Krevl A.* SNAP Datasets: Stanford Large Network Dataset Collection. 2014.
23. *Mikosch T.V.* Modeling dependence and tails of financial time series. H.C.O.-Tryk, Kobenhavns Univ. 2002. P. 1–75.
24. *Galbraith J.W.* Circuit Breakers and the Tail Index of Equity Returns // *J. Financ. Economet.* 2004. No. 2(1). P. 109–129.
25. *Resnick S.I.* Heavy-Tail Phenomena. Probabilistic and Statistical Modeling. N.Y.: Springer, 2006.
26. *Whitt W.* Stochastic-Process Limits. An Introduction to Stochastic-Process Limits and their Application to Queues. N.Y.: Springer, 2002.
27. *Mitrinović D.S.* Elementary Inequalities. P. Noordhoff Ltd, Groningen, 1964.

*Статъя представлена к публикации членом редколлегии А.В. Назиньым.*

Поступила в редакцию 19.07.2018

После доработки 02.10.2018

Принята к публикации 08.11.2018